(11) EP 1 473 208 A1

(12)

EUROPÄISCHE PATENTANMELDUNG

(43) Veröffentlichungstag:03.11.2004 Patentblatt 2004/45

(51) Int Cl.⁷: **B61L 1/16**, B61L 1/18

(21) Anmeldenummer: 03009575.6

(22) Anmeldetag: 29.04.2003

(84) Benannte Vertragsstaaten:

AT BE BG CH CY CZ DE DK EE ES FI FR GB GR HU IE IT LI LU MC NL PT RO SE SI SK TR Benannte Erstreckungsstaaten: AL LT LV MK

(71) Anmelder: Siemens Schweiz AG 8047 Zürich (CH) (72) Erfinder:

- Schmid, Rolf 8800 Thalwil (CH)
- Eichenberger, Manja 8608 Bubikon (CH)
- (74) Vertreter: Fischer, Michael, Dr. Siemens AG, Postfach 22 16 34 80506 München (DE)

(54) Verfahren zur Detektion einer Gleisbelegung

(57)Die Umgebung des Geleisekörpers (3) ist erheblichen elektromagnetischen Störbeeinflussungen durch z.B. Traktionsrückströme, Wirbelstrombremsen oder Magnetschienenbremsen ausgesetzt. Dadurch wird die Funktionstüchtigkeit von Geleisestromkreisen und von an einer Schiene (3) angebrachten magnetischen Raddetektoren (5, 9a, 9b; 9c, 9d) stark beeinträchtigen. Um diese Störbeeinflussungen in sicherheitsrelevanter Hinsicht unwirksam zu machen, wird vorgeschlagen, die vorgenannten Einrichtungen mit einem spektral breitbandigen Signal zu beaufschlagen. Besonders vorteilhaft sind dabei das Direct Sequence Spread Spectrum-Verfahren (DSSS) und das Frequency Sweep Keying-Verfahren (FSK). Durch eine Codierung können bestehende Gleisstromkreise oder Raddetektoren ohne zusätzliche Installation am Geleise (3) echt zweikanalig (5a, 5b; 5c, 5d; 6a, 6b; 6c, 6d) betrieben werden und dadurch hohe Sicherheitsanforderungen erfüllt werden.

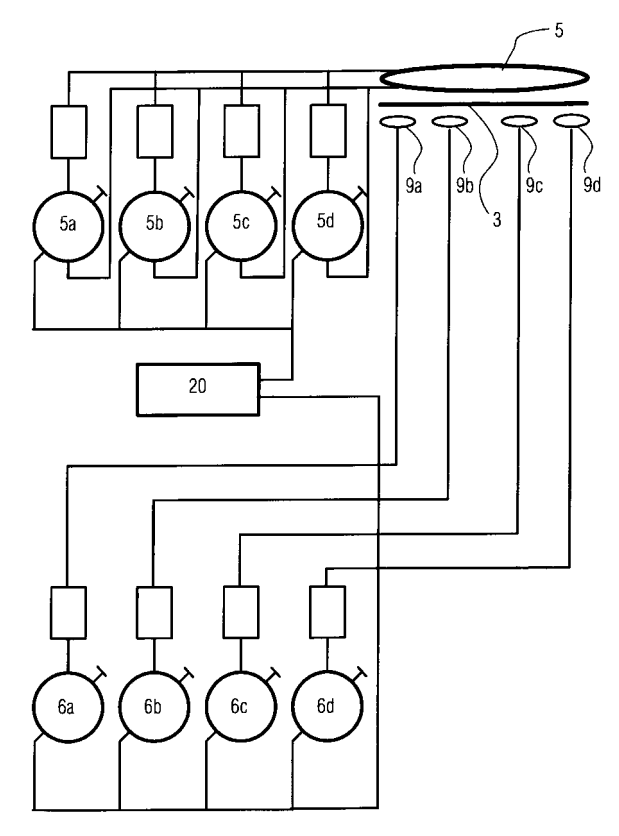


FIG 7

Beschreibung

[0001] Die vorliegende Erfindung betrifft ein Verfahren zur Detektion einer Geleisebelegung nach dem Oberbegriff des Patentanspruchs 1.

[0002] Aus dem Stand der Eisenbahnsicherungstechnik ist bekannt, die Belegung eines Geleises mit einem Gleisstromkreis zu detektieren. Dazu sind die beiden Schienen eines Geleiseabschnittes voneinander isoliert. Beim Befahren durch einen Eisenbahnfahrzeug werden die beiden Schienen elektrisch kurzgeschlossen und dadurch kann die Belegung zuverlässig festgestellt werden. Ebenso sind Gleisfreimeldeverfahren mittels der Achszählung - mechanisch oder elektronisch bekannt. Beispielsweise ist in [1] ein Achsdetektor offenbart, bei dem mittels einer Induktivität, die durch eine Leiterschlaufe und den Schienen in einem begrenzten Abschnitt gebildet wird, die Vorüberfahrt eines Wagens bzw. einer Achse durch Kurzschliessen der vorgenannten Induktivität festgestellt wird. Eine Anwendung eines Achszählsensors ist in [2] vorgestellt. Elektronische Detektionssysteme und insbesondere elektronisch arbeitenden Achszähler weisen den Nachteil auf, dass sie auf den betreffenden Arbeitsfrequenzen wie z.B. 33 kHz, 43 kHZ oder 850 kHz oder 1.2 MHz den Störbeeinflussungen ausgesetzt sind und demzufolge eine beschränkte Verfügbarkeit aufweisen. Die Störbeeinflussungen können beispielsweise verursacht werden durch elektrische Wirbelstrombremsen und Umrichterlokomotiven. Wie in [3] ausgeführt, kann eine Verlegung der Arbeitsfrequenzen in vermeintlich störfeldfreie Bereiche, keinen dauerhaften Erfolg bringen. Gerade bei sehr breitbandigen Störquellen kann eigentlich keine Arbeitsfrequenz festgelegt werden, die ausserhalb des Frequenzbandes der Gesamtheit der Störquellen liegt. Dazu wird in [3] vorgeschlagen, ein Störfeld durch eine erste kernlose Spule zu detektieren und eine zweite kernlose Spule vorzusehen, um das Störfeld zu kompensieren. Bei dieser Anwendung kann keine vollständige Kompensation erreicht werden, da diese nur für homogene Störfelder wirkt. Da die Feldverteilung radial um das Schienenprofil geht, sind inhomogene Störfelder stets vorhanden. Die Kompensation wirkt bei der Resonanz eines Kreises um einen Arbeitsfreguenzpunkt deshalb nicht vollständig, da die Kompensation frequenzabhängig ist. Eine Überlagerung durch starke Transientenströme kann Ausschwingsignale bzw. keine Kompensation des Störfeldes zur Folge haben.

[0003] In [4] wird ein Radsensor vorgeschlagen, der zwei unabhängige, galvanisch getrennte Radsensorsysteme aufweist. Diese detektieren den Spurkranz eines Eisenbahnrades. Das Wirkprinzip basiert darauf, dass einem elektromagnetischen Wechselfeld durch Bedämpfung mit Metall Energie entzogen wird. Dieses System erfordert eine Überwachung der korrekten Montage.

[0004] Der vorliegenden Erfindung liegt daher die Aufgabe zugrunde, ein Verfahren zur Detektion der Ge-

leisebelegung anzugeben, dass weitestgehend immun gegen elektromagnetische Störbeeinflussungen in einem weiten Frequenzbereich ist und keine Einstellungen bei der Montage erfordert.

[0005] Diese Aufgabe wird erfindungsgemäss durch das im Patentanspruch 1 angegebene Verfahren gelöst. [0006] Durch das erfindungsgemässe Verfahren eröffnet sich die Möglichkeit, bestehende Installationen am Geleise, seien es nun Achszähler oder Gleisstromkreise, weiter zu nutzen. Durch die Kopplung von Sendeeinheit und Empfangseinheit erfordert das erfindungsgemässe Verfahren keine Kalibrierung und keine pegelmässigen Einstellungen bei der Montage. Durch das spektral breitbandige, eine Information enthaltende Signal ist sichergestellt, dass auftretende Störfelder, die beispielsweise durch Magnetschienenbremsen oder Wirbelstrombremsen verursacht werden, keinen Einfluss auf die sicherheitsrelevante Detektion einer Geleisebelegung ausüben.

[0007] Das spektral breitbandige eine Information enthaltende Signal lässt sich auf verschiedene Arten codieren, beispielsweise durch die Direct Sequence Spread Spectrum Technik (DSSS) oder durch repetitives Aussenden eines ansteigenden oder fallenden Frequenzverlaufes. Da bei diesem Verfahren stets ein Empfänger vorhanden ist, lässt sich dieser Empfänger auch zur Feststellung von statischen oder transienten Störfeldern nutzen und dadurch kann im Sinne eines Iernenden Systems der auszusendene Frequenzverlauf gegebenenfalls ausserhalb oder am Rande eines Störfeldes angelegt werden und die Sicherheit weiter verbessert werden. Dieses Iernende Verhalten ist aber für das erfindungsgemässe Verfahren nicht zwingend notwendig.

[0008] Weitere vorteilhafte Ausgestaltungen der Erfindung sind in weiteren Ansprüchen angegeben.

[0009] Die Erfindung wird nachfolgend anhand einer Zeichnung beispielsweise näher erläutert. Dabei zeigen:

Figur 1 Prinzipdarstellung eines Gleisstromkreises bei Anwendung einer ersten Ausführungsform der vorliegenden Erfindung;

Figur 2 Anordnung von Sende- und Empfangsspulen am Gleis:

Figur 3 Aufbau eines Radsensors in montiertem Zustand an einer Schiene;

Figur 4 Prinzipdarstellung der Spreizung eines Signals für die DSSS-Technik;

Figur 5 Darstellung eines gestörten Signals S_B';

Figur 6a Darstellung des zeitlich linearen FSK-Verfahrens

Figur 6b Darstellung des zeitlich logarithmischen FSK-Verfahrens:

Figur 6c Darstellung des Verlaufes des Sende- und Empfangspegels über ein Frequenzband beim FSK-Verfahren;

Figur 7 Prinzipschema zur Raddetektion für

FSK-Verfahren;

Figur 8 Prinzipschema zur Raddetektion für FSK-Verfahren für digitalen Signalprozessoren.

[0010] Die Erfindung wird anhand zweier Codierverfahren unter Verwendung eines breitbandigen Frequenzbereiches zur Detektion einer Geleisebelegung erläutert:

1. Detektion mit der Direct Sequence Spread Spectrum Technik, im folgenden DSSS-Technik genannt;
2. Detektion mittels Frequency Sweep Keying Technik; im folgenden FSK-Technik genannt. Bei dieser FSK-Technik ist ein steigender oder fallender Frequenzverlauf innerhalb eines vorgegebenen Frequenzbandes vorgesehen: "überstreichen" = sweep des Frequenzbandes.

[0011] In dieser Schrift wird die Frequency Sweep Keying Technik abweichend von der sonst üblicherweise verwendeten Bedeutung mit FSK-Technik bezeichnet. Sie darf daher nicht mit der sogenannten Frequency Shift Keying Technik (auch genannt: Verfahren der Frequenzumtastung) verwechselt werden, für die ebenfalls das Akronym FSK gebräuchlich ist.

[0012] Die vorgenannten zwei Techniken sind anwendbar bei:

A1 "Galvanische" Detektion einer Geleisebelegung über einen Gleisstromkreis durch "Kurzschliessen" zweier einen Geleiseabschnitt bildende Schienen; A2 magnetische Detektion eines Rades und Anwendung einer Rad- bzw. Achszählmethode.

[0013] Für die magnetische Detektion erfolgt eine Erläuterung anhand der Figuren 2 und 3. Die magnetische oder galvanische Detektion sind dabei unabhängig von den vorerwähnten zwei Codierverfahren.

[0014] Die erste Ausführungsform der vorliegenden Erfindung wird anhand der "galvanischen" Implementierungsform gemäss der Figur 1 erläutert und beinhaltet folgende Schritte:

Ein Information S in binärer Darstellung der Breite n Bit wird gemäss der DSSS-Technik mit einer sogenannten "Chipping Sequence" B - auch Barker Code B genannt - exklusiv-oder verknüpft. Diese Verknüpfung wird meist mit XOR bezeichnet.

[0015] Die Verknüpfung XOR ist in Figur 4 dargestellt, wobei für die Information S lediglich eine Breite von n = 2 Bit angenommen wurde, das Ergebnis der Verknüpfung XOR mit dem Barker Code B ist mit S_B bezeichnet. Die Breite m des Barker Codes B beträgt in dieser Darstellung m = 11 Bit. Eine auf diese Weise gespreizte Information S_B wird auf eine Trägerfrequenz moduliert. [0016] Fig. 1 zeigt zwei durch eine Schienenisolie-

rung 12 getrennte Geleiseabschnitte. Für einen Geleiseabschnitt ist im Abstand d von einem Sender/Übertrager 5 ein Empfangskreis mit einem Empfänger/Übertrager 6 angeschlossen. Ein typischer Bereich für einen solchen Abstand d liegt im Intervall 25 m.. 2500 m. Wie vorstehend ausgeführt, wird die so modulierte Trägerfrequenz in der Anwendung in einem Gleisstromkreis gemäss der Darstellung von Fig. 1 auf die Sendespule 51 als Teil eines Übertragers 5 geschaltet. Die sekundäre Sendespule 52 als Teil des Übertragers 5 ist an die beiden Schienen 3 eines Geleiseabschnittes angeschlossen. Der Empfänger/Übertrager 6 weist im Primärkreis eine Empfangsspule 62 und im Sekundärkreis eine Empfangsspule 61 auf. Die prinzipielle Funktion eines solchen Gleisstromkreises in DC- oder AC-Technik ist folgende: Bei einem Ruhe-Gleisstromkreis reagiert eine Empfangseinrichtung bei einem freien Geleise und das Geleiserelais oder eine elektronische Detektion "zieht an". Befindet sich ein Wagon auf dem Geleiseabschnitt, ändern sich die elektrischen Verhältnisse. Es entsteht ein Nebenschluss, so dass durch die Empfangseinrichtung nur noch ein kleiner Reststrom fließt. Damit wird festgestellt, dass der Abschnitt belegt ist, da das Geleiserelais dann nicht mehr "anzieht". Dieser Aufbau hat zur Folge, dass alle häufig auftretenden Fehler wie Unterbrechungen des Stromkreises (z.B. durch einen Leitungsbruch oder defekte Sicherungen) zu einem angeblich besetzten Geleiseabschnitt führen. Dieses Verfahren in DCoder AC-Technik ist mit dem Nachteil behaftet, dass Rückströme in den Schienen eine Belegung simulieren können, die gar keine Belegung durch eine Achse bzw. Fahrzeug darstellen.

[0017] Dies trifft auch bei einem DC-Kreis zu, da aufgrund der hohen Ströme auch nur wenige Promille eines DC-Anteils die vorgenannten Relais zum Ansprechen bzw. nicht Ansprechen bringen. Dieser Nachteil wird in dieser ersten Ausführungsform der vorliegenden Erfindung dadurch behoben, dass das auf ein Trägerfrequenzband modulierte gespreizte Signal breitbandig ist. Die angegebene obere Grenze des Frequenzbandes erklärt sich dadurch, dass oberhalb dieser Frequenz Emissionsgrenzwerte einzuhalten sind. Der Pegel des vom Empfänger 6 in der Empfangsspule 62 empfangenen Signals S_B' ist abhängig von der Anwesenheit eines Rades 1 in der unmittelbaren Umgebung der an der Schiene angeordneten Sender/Empfänger. In einer Empfangseinrichtung (nicht dargestellt in den Figuren) muss dieses Signal S_B'entspreizt werden. Dies ist im allgemeinen wesentlich komplexer als die Spreizung. Bei der vorliegenden Erfindung ist jedoch besonders vorteilhaft, dass in der Empfangseinrichtung der Sendetakt direkt vorhanden ist, weil Sende- und Empfangseinrichtung unmittelbar nebeneinander oder als integrierte Einrichtung realisiert werden können. Diese wesentliche Voraussetzung trifft bei einer Nachrichtenübertragung in DSSS-Technik im allgemeinen nicht zu. Somit ist in der Empfangseinrichtung kein besonderer Aufwand zur Synchronisation vorzusehen. Das empfangene Signal

6

 S_{B}' wird wiederum mit dem gleichen Barker Code B XOR-verknüpft. Das empfangene Signal S_B' hat gemäss der Figur 5 an der Stelle i einen Verlauf Si. Selbstverständlich tritt auch an den anderen Stellen ein nicht idealer Verlauf auf, dies ist in der Figur 5 jedoch nicht dargestellt, sondern lediglich exemplarisch für die Stelle i dargestellt. Dieses Signal Si weicht um Di von der mittleren Signalstärke S_{Avq} ab. Die Abweichung D_i wird anschliessend mit -1 multipliziert, falls der Wert des Barker Codes an der Stelle i gleich 1 ist. Das Resultat Ri berechnet sich aus diesem Wert addiert zur mittleren Signalstärke S_{Avq}. Ein Integrator summiert die dabei erhaltenen Werte für jede Stelle i = 1, 2, .. n des Barker Codes der Länge n. Ist das Ergebnis grösser als die mittlere Signalstärke S_{Avq} so entscheidet ein Komparator für dieses Bit (der Nutzinformation S) auf 1, sonst auf 0. Auf diese Weise kann nun entschieden werden, ob an der betreffenden Stelle der Schiene sich ein Rad befindet oder nicht.

[0018] Der besondere Vorteil des vorstehend genannten Codierung mit der DSSS-Technik liegt darin, dass eine elffache Redundanz vorliegt. Dies ist gegeben durch die Barker Code Breite von m=11. Bei einer schmalbandigen Störung an verschiedenen Stellen im Frequenzband kann dadurch das übertragene gespreizte S_B trotzdem als Information S regeneriert werden. Für die Übertragung werden beispielhaft folgende Frequenzen bzw. ein Frequenzband aus dem nachfolgend aufgeführten Frequenzband verwendet:

10 kHz .. 30 MHz.

[0019] In einer besonders vorteilhaften Weiterentwicklung der vorliegenden Erfindung kann unter Nutzung der bestehenden Infrastruktur wie der vorstehend genannte Geleisestromkreis zur Erhöhung der Detektionssicherheit folgendes vorgesehen werden: Die Information S wird mit einem weiteren Barker Code B2 gespreizt, wobei dieser Code m2 Stellen umfasst. Das gespreizte Signal S_{B2} wird auf einem gegenüber dem ersten Trägerfrequenzband disjunkten Trägerfrequenzband moduliert. Für den Barker Code B₂ gelten keine besonderen Bedingungen, insbesondere können die Längen m und m2 verschieden sein. Auf diese Weise ist ein redundantes zweikanalsystem zur Detektion einer Geleisebelegung geschaffen, das gegenüber einer Störung auf bestimmten Frequenzbändern weitestgehend immun ist und dadurch gestellte Sicherheitsanforderungen optimal erfüllt. Trotz der Redundanz ist keine Zweitinstallation von Einrichtungen am Geleise erforderlich. Ein solcher zweiter Kanal mit einem weiteren Barker Code B₂ ist mit relativ geringem Aufwand implementierbar.

[0020] Die zweite Ausführungsform der vorliegenden Erfindung wird anhand der "magnetischen" Implementierungsform gemäss den Fig. 2 und 3 erläutert.

[0021] Figur 2 zeigt die Anordnung eines Senders 5 und eines Empfängers 6 links und rechts einer Schiene 3 eines Geleises 11. Sender 5 und Empfänger 6 sind über eine Anschlussleitung 8 mit einer Anschlussklem-

me verbunden. Zu beachten ist, dass der Empfänger 6 wenigstens zwei Empfangsspule 9a und 9b (nicht dargestellt in den Fig. 2 und 3) aufweist, die typischer Weise in einem Abstand von etwa 10 cm (- 0 cm; + 10 cm) angeordnet sind. In Figur 3 ist die konstruktive Anordnung des Senders 5 und des Empfängers 6 in einem Radsensor 9 dargestellt. In einem Gehäuse sind geschützt Sender 5 und Empfänger 6 resp. Empfangsspulen 9a, 9b, .. untergebracht und mit einem Befestigungsmittel 7, wie z.B. eine Schraubverbindung, fest mit der Schiene 3 verbunden. Die Anschlussleitungen 8 werden vom Geleise her gesehen nach aussen zu einer nicht darstellten Anschlussklemme 10 geführt. Ebenfalls nicht dargestellt ist die Befestigung der Schiene an der durch die Oberkante 4 dargestellten Schwellen. Zwischen Sender 5 und Empfänger 6 sind über die Schienenoberkante führende Feldlinien 13 dargestellt. Der Verlauf der Feldlinien 13 wird dabei durch ein vorbeirollendes Rad 1 beeinflusst. Zur Darstellung der Orientierung ist das Rad 1 mit einem Radkranz 2 gezeigt. Der Sender 5 resp. die Sendespule erstrecken sich über die wenigstens zwei Empfangsspulen 9a, 9b. Es könnten jedoch noch weitere Empfangsspule 9c und 9d vorgesehen sein. Die Sendespule 5 wird in einer ersten Variante mit einem Signal gemäss der Darstellung von Fig. 6a beaufschlagt. Dieses Signal, d.h. die Frequenzverlauf f_a wird repetitiv in einem Raster von T_{rep} ausgesendet. Dieser Frequenzverlauf fa ist innerhalb von Trep linear über die Zeit von einer ersten unteren Frequenz f₁ zu einer oberen Frequenz f2. In der Fachsprache wird ein so linear oder anders ansteigender oder fallender Frequenzverlauf als "Sweep" bezeichnet. In einem zeitlichen Abstand von T_{ab} wird ein weiterer Verlauf f_b auf die Sendespule 5 geschaltet. Der zeitliche Abstand Tab kann als Codierung einer bestimmten Information S herangezogen werden. Typische Werte für die vorgenannten Variablen sind:

$$f_1$$
 = 10 kHz
 f_2 = 10 MHz
 T_{rep} = 10 .. 2000 µs
 T_{ab} = 2 .. 500 µs

[0022] Die Empfangsspulen 9a und 9b detektieren über die Feldlinien 13 das von der Sendespule 5 ausgesandte Spektrum. Der Pegel dieses Spektrums ist dabei abhängig von der Anwesenheit eines Rades bzw. eines Gegenstandes aus einem magnetischen Material zwischen Sendespule 5 und Empfangsspule 9a und 9b. [0023] In der Fig. 6c ist ein konstanter Pegel P_s über den Frequenzbereich dargestellt, der durch die untere Frequenz f_1 und die obere Frequenz f_2 definiert ist. Der Sendespule 5 wird dabei über den vorgenannten Frequenzbereich [f_1 ... f_{12}] dieser Pegel zugeführt. Im gleichen Diagramm ist in einem momentanen Pegelabstand P_D ein Empfangspegel P_S , dargestellt, dabei wird angenommen, dass in einem kleinen Teilbereich um eine Frequenz f eine Störfeld D_f vorhanden ist. Der vor-

stehend erwähnte Begriff "momentan" bedeutet dabei für die betreffende Frequenz f zu einem bestimmten Zeitpunkt. Dieser Empfangspegel tritt bei einer Empfangspule 9a oder 9b auf. Dieses Störfeld ist selbstverständlich Teil des empfangenen Signals S_B, mit dem Pegel P_S ,. Zur Verdeutlichung ist dies jedoch in der Figur 6c besonders mit D_f bezeichnet. Aufgrund einer Selbstkalibration ist feststellbar, ob der jeweilige Pegelunterschied P_D zwischen P_S und P_S , der Anwesenheit eines Rades entspricht oder nicht. Dieser Pegelunterschied P_D wird durch das vorgenannte Störfeld "verfälscht". Dies ist jedoch für die Feststellung der Anwesenheit bzw. Abwesenheit eines Rades unerheblich, als in diskreten Intervallen über den Frequenz PD bereich [f1 ... f₁₂] der jeweilige Abstand P_D detektiert, fortlaufend summiert und schlieslich gemittelt wird. Somit haben durch ein Störfeld bedingte "Ausreisser" keinen Einfluss auf die vorgenannte Feststellung der Anwesenheit bzw. Abwesenheit eines Rades. Darüber hinaus sind die Störfelder hochgradig transient, so dass mit der vorgegebenen Repetition T_{REP} im Bereich von 10 - 2000 μs der momentane Zustand bezüglich der Anwesenheit/Abwesenheit eines Rades an einem Sensor mehrfach ermittelt wird.

[0024] Für die weitere Auswertung des empfangenen Spektrums wird auf die Figuren 7 und 8 Bezug genommen.

[0025] Fig. 7 zeigt ein erstes Prinzipschema zur Raddektion mittels dem FSK-Verfahren. Mit den Bezugszeichen 5_a, 5_b, usw. sind synchronisierte Sendeeinrichtungen für den Frequenzverlauf fa, fb, usw. dargestellt. Die von den Sendeeinrichtungen 5_a, 5_b, usw. erzeugten Signale werden der Sendespule 5 zugeführt. Abhängig von der Anwesenheit eines Rades im Bereich der Sendespule 5 erfolgt in den Empfangsspulen 9a, 9b, usw. eine Induktion. Diese Empfangsspulen 9a, 9b, usw. sind an je eine Empfangseinrichtung 6a, 6b, usw. angeschlossen die ihrerseits mit einem Generator für die Erzeugung der Repetitionszeit T_{REP} angeschlossen sind. Auf diese Weise kann in den Empfangseinrichtungen 6a, 6b, usw. das empfangene Signal mit dem den Sendespulen zugeführten Signal korreliert werden und auftretende Pegelunterschiede für die Anwesenheit eines Rades herangezogen werden. In einer Minimalausführungsform, das heisst in einer einkanaligen Ausführungsform, sind zwei Empfangseinrichtung 6a und 6b vorzusehen. Diesen ist je ein synchronisiertes Bandpassfilter vorgeschaltet. Die Synchronisation erstreckt sich dabei über den jeweiligen Frequenzverlauf fa, fb. Auf diese Weise können Störungen in einem bestimmten Frequenzbereich zu einem bestimmten Zeitpunkt ausgefiltert werden, ohne dass deswegen das in den Empfangsspulen 9a, 9b induzierte Signal dadurch "verfälscht" wird. Auf diese Weise ist selbst bei spektral und pegelmässig massiven Störungen eine Korrelation mit dem ausgesendeten Signal möglich und erlaubt daher eine von der Störbeeinflussung unabhängige Detektion eines Rades durch einen so beaufschlagten Radsensor 9. Es sind in einer einkanaligen Ausführung deshalb zwei Empfangsspulen 9a, 9b und zwei Empfangseinrichtung 6a und 6b erforderlich, um die Richtung der Radbewegung feststellen zu können. Aufgrund der festgestellten Richtung wird für den betreffenden Geleiseabschnitt ein Zähler um 1 hoch bzw. herunter getaktet. Die Detektion einer Geleisebelegung selber erfolgt aufgrund des Zählerstandes für den betreffenden Geleiseabschnitt:

Zählerstand = 0 : Geleiseabschnitt ist frei; Zählerstand ≠ 0 : Geleiseabschnitt ist belegt.

[0026] In der Figur 8 ist die Auswertung der gemäss den Fig. 6a erzeugten Frequenzverläufe fa und fb in einer Implementierung mit digitalen Signalprozessoren in einer Prinzipdarstellung gezeigt. Die Sendeeinrichtung 50 weist einen spannungsgesteuerten Oszillator 55 (VCO voltage controlled oscillator) auf. Eine Steuerung 56 erzeugt für den gewünschten Frequenzverlauf einen entsprechenden Spannungsverlauf. Nicht dargestellt in der Figur 9 ist eine eventuell vorzusehende Rückführung, um in den Empfangsspulen 9a und 9b festgestellten transienten oder quasistatischen Störfeldern auszuweichen. Für die Bestimmung des jeweiligen Abstandes T_{ab} der beiden Frequenzverläufe f_a, f_b wie auch für die Wiederholung T_{REP} ist ein Sendetaktgenerator 54 vorgesehen. Die Empfangsspulen 9a und 9b sind mit je einem breitbandigen Filter 71 verbunden. Der Sendetaktgenerator ist ebenfalls mit bandbreiten gedämpften Filtern 71 verbunden, um im jeweiligen Zeitraster den empfangenen Pegel nur der jeweiligen Frequenz den A/ D-Wandlern 72 zuzuführen. Die in diskreten zeitabständen digitalen Werte der Pegel sind Pegel zu bestimmten Frequenzen, siehe dazu die Fig. 6c. Hier ist zwar auf der Abszisse die Frequenz angegeben, bei einem Verfahren mit z.B. linear ansteigender Frequenz ist dieser Abszisse auch eine Zeitachse unterlegt. Diese digitalen Pegel werden über die Zeit einer Referenzspeicherung 64 unterzogen, um allfällige Alterungserscheinungen ausgleichen zu können. Die Zeitkonstante beträgt hier Grössenordnungen von Wochen oder Monaten. Die vorgenannten digitalen Signale werden, wie weiter vorne zu den Figuren 6a und 6c erläutert, zur Rad- bzw. Achsrückgewinnung herangezogen. Als Ergebnis resultiert ein Wert ± 1. Das Vorzeichen enthält dabei die Überfahrrichtung. Die Langzeitrückführung der gespeicherten Referenzwerte hat zur Folge, dass diese Ausführungsform der vorliegenden Erfindung keiner externen Kalibration bedarf. Der vorgenannte Wert ± 1 wird in bekannter Weise in der Achszählelektronik 80 weiter ausgewertet.

[0027] Die vorstehend genannten Auswertungen/ Analysen für einen über das zeitraster linearen Frequenzverlauf f_a, f_b gemäss der Fig. 6a können zur Erhöhung der Robustheit des erfindungsgemässen Verfahrens auch für einen Frequenzverlauf f_a und f_b gemäss der Fig. 6b eingesetzt werden. In Fig. 6b ist ein 20

logarithmischer Verlauf dargestellt, dabei ist die Skala f₁ bis f₂ linear. Möglich gewesen wäre auch eine Darstellung mit einer logarithmischen Skala, wobei die graphische Darstellung dann als "linear" erscheint. Der Vorteil eines logarithmischen Verlaufes liegt darin, dass die Verweildauer in einem angenommenen Störband f_{d1} und f_{d2} kürzer ist als beim zeitlich linearen Verlauf gemäss der Fig. 6a. Auf diese Weise kann einem statisch bekannten Störband zusätzlich ausgewichen werden. Da in der Empfangseinrichtung 6a, 6b, usw. der jeweilig ausgesandte Frequenzverlauf fa, fb, usw. bekannt ist, wäre es auch möglich, durch eine Detektion und Analyse des "Störfeldes" den auszusenden Frequenzverlauf so festzulegen, dass dem momentanen, quasistatischen Störfeld ausgewichen werden kann. Dies führt zu sogenannt lernenden Sendeeinrichtungen 5a, 5b usw. Gemäss den Fig. 6a und 6b ist der Frequenzverlauf über die Zeit streng monoton ansteigend. Möglich ist es aber auch, einen Frequenzverlauf vorzusehen der entweder monoton steigend, monoton fallend oder streng monoton fallend ist.

[0028] In einer weiteren Ausführungsform kann auch der erste Verlauf f_a steigend und der zweite Verlauf f_b fallend ausgebildet sein.

[0029] Das vorstehend erläuterte Verfahren kann auch zweikanalig ausgeführt sein. Dabei sind unabhängige Sendeeinrichtungen 6c und 6d für einen zweiten Kanal vorgesehen, die einen Frequenzverlauf fe und fd gemäss der Darstellung in Fig. 6a erzeugen. Unabhängig vom Verlauf f_a und f_b können in den Empfangsspulen 9c und 9d die entsprechenden Verläufe f_c und f_d registriert und in den Empfangseinrichtungen 6c und 6b analysiert bzw. korreliert. Durch diese zweikanalige Ausführung können die geforderten Sicherheitsanforderung hinsichtlich Redundanz und Unabhängigkeit erfüllt werden. Die Sendespule 5 ist dabei ein statisches Element. Eine allfällige Beeinträchtigung der Funktion der Sendespule 5 kann von der Senderseite her festgestellt werden und ist somit unabhängig von Signalen der Empfangskreise.

Liste der verwendeten Bezugszeichen

[0030]

- 1 Rad
- 2 Radkranz
- 3 Schiene
- 4 Schwelle, Oberkante Schwelle
- 5 Sender, Übertrager
- Sendeeinrichtung für ersten Kanal mit synchronisiertem Träger der Frequenz f_a

- Sendeeinrichtung ersten Kanal mit synchronisiertem Träger der Frequenz f_b
- 5c 3. Sendeeinrichtung für zweiten Kanal mit synchronisiertem Träger der Frequenz f_c
- 5d 4. Sendeeinrichtung für zweiten Kanal mit synchronisiertem Träger der Frequenz f_d
- 0 6 Empfänger, Übertrager
 - 1. Empfangseinrichtung für ersten Kanal mit synchronisiertem Bandpassfilter
- 5 6b 2. Empfangseinrichtung für ersten Kanal mit synchronisiertem Bandpassfilter
 - Empfangseinrichtung für zweiten Kanal mit synchronisiertem Bandpassfilter
 - 6d 2. Empfangseinrichtung für zweiten Kanal mit synchronisiertem Bandpassfilter
 - 7 Befestigungsmittel für Sender/Empfänger
 - 8 Anschlussleitungen
 - 9 Radsensor
- 9a 1. Empfänger/Empfangsspule für ersten Kanal
 - 9b 2. Empfänger/Empfangsspule für ersten Kanal
 - 9c 1. Empfänger/Empfangsspule für zweiten Kanal
 - 9d 2. Empfänger/Empfangsspule für zweiten Kanal
 - 10 Anschlussklemme
- 40 11 Geleise
 - 12 Schienenisolierung
 - 13 Darstellung Verlauf Feldlinien
 - 20 Generator für Repetitionszeit
 - 50 Sendeeinrichtung
- 50 51 Sendespule Primärkreis, Übertrager
 - 52 Sendespule Sekundärkreis, Übertrager
 - 53 Verstärker
 - 54 Sendetakt
 - 55 spannungsgesteuerter Oszillator, VCO Voltage

55

45

	contro	lled oscilltor		S _B	gespreiztes Signal, Nutzsignal
56	Steue	rung für Frequenz- bzw. Spannungsverlauf		S _B '	empfangenes Signal in gespreizter Dar-
60	Empfa	ngseinrichtung	5	0	stellung
61	Empfä	ngerspule Sekundärkreis, Übertrager		S _i	Empfangenes Signal an der Stelle i
62	Empfä	ingerspule Primärkreis, Übertrager	10	T _{rep}	Repetionszeit
63	Achsri	ückgewinnung, ± 1	10	T _{ab}	Folgezeit zwischen zwei Frequenzverläu- fen f _a und f _b
64	Refere	enzwertspeicherung über die Zeit		Liste d	ler verwendeten Akronyme
70	Analys	sefilterdatenbank	15	[0031]	
71	bandb	reitenbedämpfter Filter		DC	Direct Current, Gleichstrom
72	Analo	g/Digital-Wandler	00	AC	Alternating Current
80	Achsz	ählelektronik	20	GFM	Gleisfreimeldesystem
В, В	2	Barker Code		DSSS	Direct Sequence Spread Spectrum
D_f		Störfeld um eine Frequenz f	25	FSK	Frequency Sweep Keying
d		Abstand		Literat	urliste
D _i		Abweichung	30	[0032]	
f		Frequenz	30	[1]	DE 196 47 737 A1, Siemens AG, Achsdetektor
f _a , f _b	, f _c , f _d	Frequenzverläufe für FSK-Verfahren		[2]	SIGNAL+DRAHT (95) 3/2003 p. 20 - 23
f _{d1'} f	d2	Untere, obere Frequenz eines Störbandes	35	[3]	DE 101 37 519 A1, Siemens AG, Radsensor
f ₁ , f ₂	!	Untere, obere Frequenz für FSK-Verfahren		[4]	SIGNAL + DRAHT (95) 4/2003, p. 15 - 17
i		laufender Index zur Kennzeichnung einer	40	Patent	ansprüche
,		Stelle des Barker Codes, i = 1,, m			rfahren zur Feststellung einer Geleisebelegung rch:
m, m	1 ₂	Breite des Barker Code in Bit, Anzahl Stellen des Barker Code	45	uu	A1 einen an einer Schiene (3) angebrachten ei-
n		Breite der Information S in Bit			nen Sender (5) und Empfänger (6) enthaltenden Radsensor (9), der eine Magnetfeldände-
р		Pegel			rung infolge eines die Schiene (3) überfahrenden Eisenbahnrades (1) registriert,
P _s , F	s,	Sendepegel, Empfangspegel	50		A2 einen durch zwei Schienen (3) gebildeten
P_{D}		Pegelunterschied zwischen P _s , P _s			einen Sender (5) und Empfänger (6) aufwei- senden Gleisstromkreis, der beim Befahren durch ein Eisenbahnfahrzeug kurzgeschlossen
S		Information	55		wird, wobei der Kurzschluss im Empfänger re-
S _{Avg}	l	mittlere Signalstärke			gistrierbar ist; gekennzeichnet durch die Verfahrensschritte:

10

15

20

30

35

40

50

B der Sender (5) wird mit einem in einer Sendeeinheit (50; 5a, 5b, ..) generierten spektral breitbandigen eine Information (S) enthaltendem Signal (S_B) beaufschlagt;

C vom Empfänger (6) registrierte Signale (S_B') werden einer Empfangseinheit (60, 6a, 6b, ...) zur Wiedergewinnung der im Verfahrensschritt B ausgesendeten Information (S) zugeführt, wobei Sendeeinheit (50; 5a, 5b, ...) und Empfangseinheit (60; 6a, 6b, ...) gekoppelt sind; D auftretende unterschiedliche Pegel des registrierten Signals (S_B') werden zur Feststellung der Geleisebelegung herangezogen.

2. Verfahren nach Anspruch 1,

dadurch gekennzeichnet, dass

im Verfahrensschritt B in der Sendeeinheit (50; 5a, 5b, ..) die zu übertragende Information (S) in Direct Sequence spread Spectrum Technik (DSSS) mit einem Code (B) gespreizt wird und auf ein Trägerfrequenzband moduliert wird.

3. Verfahren nach Anspruch 2,

dadurch gekennzeichnet, dass

im Verfahrensschritt C zur Kopplung von Sendeeinheit (50; 5a, 5b, ...) und Empfangseinheit (60; 6a, 6b, ...) der Sendetakt (54; 20) der Empfangseinheit (60; 6a, 6b, ...) zugeführt wird.

4. Verfahren nach Anspruch 2 oder 3 dadurch gekennzeichnet, dass

im Verfahrensschritt B die zu übertragende Information (S) mit zwei verschiedenen Codes (B, B2) gespreizt wird und auf disjunkte Trägerfrequenzbänder moduliert werden.

 Verfahren nach einem der Ansprüche 2 bis 4, dadurch gekennzeichnet, dass das Trägerfrequenzband einen Bereich von 10 kHz bis 30 MHz aufweist.

6. Verfahren nach Anspruch 1,

dadurch gekennzeichnet, dass

im Verfahrensschritt B in der Sendeeinheit (50; 5a, 5b, ..) die zu übertragende Information (S) durch Aussendung zweier aufeinanderfolgender Frequenzverläufe (T_{ab} , f_a , f_b , ..) codiert wird, wobei die beiden Verläufe repetitiv (T_{Rep}) ausgesendet werden

7. Verfahren nach Anspruch 6,

dadurch gekennzeichnet, dass

im Verfahrensschritt B in der Sendeeinheit (50; 5a, 5b, ..) die zu übertragende Information (S) durch Aussendung vierer aufeinanderfolgender Frequenzverläufe (T_{ab} , f_a , f_b , f_c , f_d) codiert wird, wobei die vier Verläufe repetitiv (T_{Rep}) ausgesendet werden.

- 8. Verfahren nach Anspruch 6 oder 7, dadurch gekennzeichnet, dass ein Generator (20) für das repetitive Aussenden vorgesehen ist und dass der Generator mit der Sendeeinheit (5a, 5b, ...) und mit der Empfangseinheit (6a, 6b, ...) gekoppelt ist.
- Verfahren nach einem der Ansprüche 6 bis 8, dadurch gekennzeichnet, dass der Frequenzverlauf (f_a, f_b,...) über die Zeit linear ansteigend oder linear fallend ist.
- 10. Verfahren nach einem der Ansprüche 6 bis 8, dadurch gekennzeichnet, dass der Frequenzverlauf (f_a, f_b,...) über die Zeit logarithmisch ansteigend oder logarithmisch fallend ist.
- 11. Verfahren nach einem der Ansprüche 6 bis 8, dadurch gekennzeichnet, dass der Frequenzverlauf (f_a, f_b,...) über die Zeit monoton ansteigend oder monoton fallend ist.
- 12. Verfahren nach einem der Ansprüche 6 bis 11, dadurch gekennzeichnet, dass vor Ausführung des Verfahrensschrittes B ein vom Empfänger erfasstes Störfeld analysiert wird und dass im Verfahrensschritt B der Frequenzverlauf (f_a, f_b,...) ausserhalb oder am Rande des Störfeldes festgelegt wird.
- 13. Verfahren nach einem der Ansprüche 6 bis 12, dadurch gekennzeichnet, dass die Frequenzverläufe (f_a, f_b,...) innerhalb eines Bandes von 10 kHz bis 10 MHz angelegt werden.
- 14. Verfahren nach einem der Ansprüche 1 bis 13, dadurch gekennzeichnet, dass der Radsensor (9) zur Detektion der Überfahrrichtung zwei Empfangsspulen (9a, 9b) aufweist.
- **15.** Verfahren nach einem der Ansprüche 1 bis 13, dadurch gekennzeichnet, dass der Radsensor (9) zur Detektion der Überfahrrichtung vier Empfangsspulen (9a, 9b, 9c, 9d) aufweist.

8

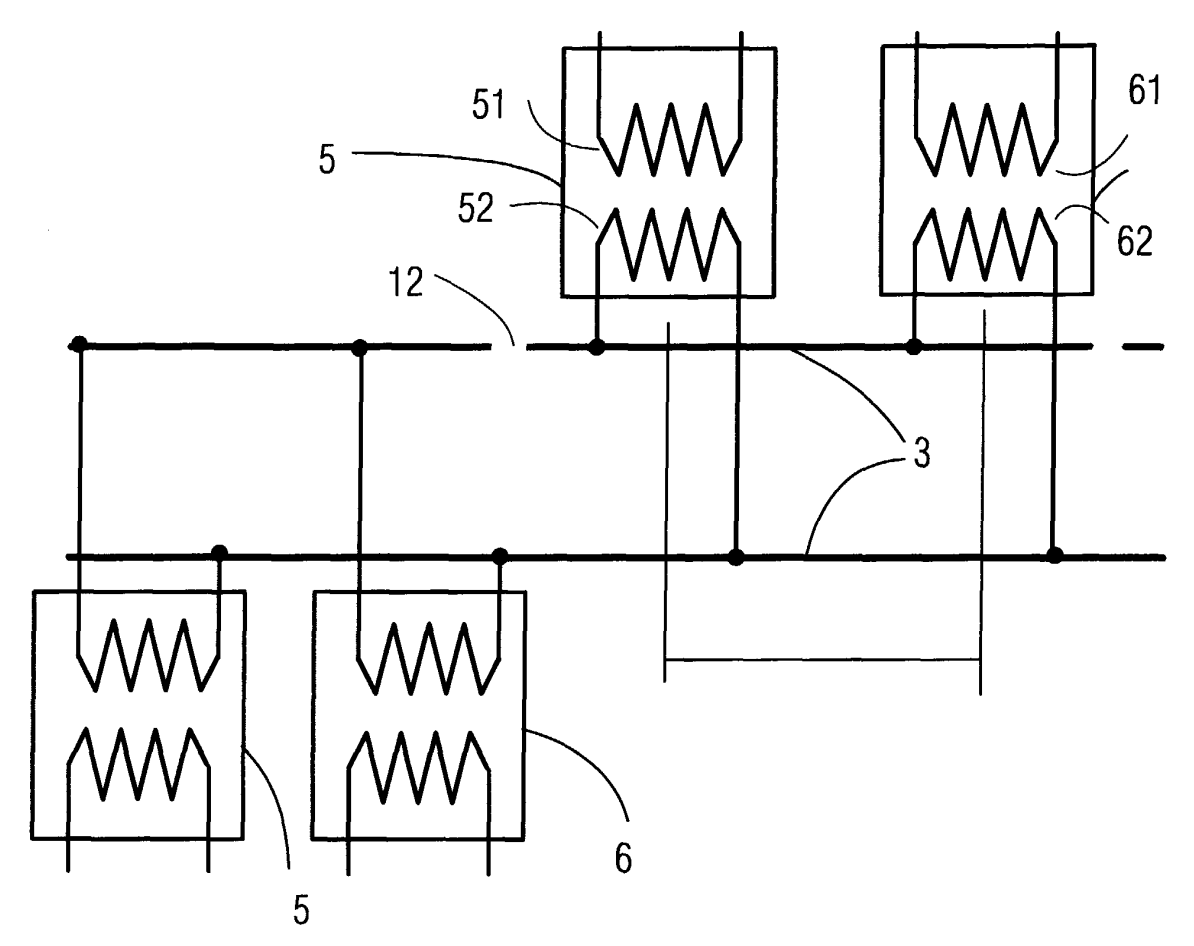
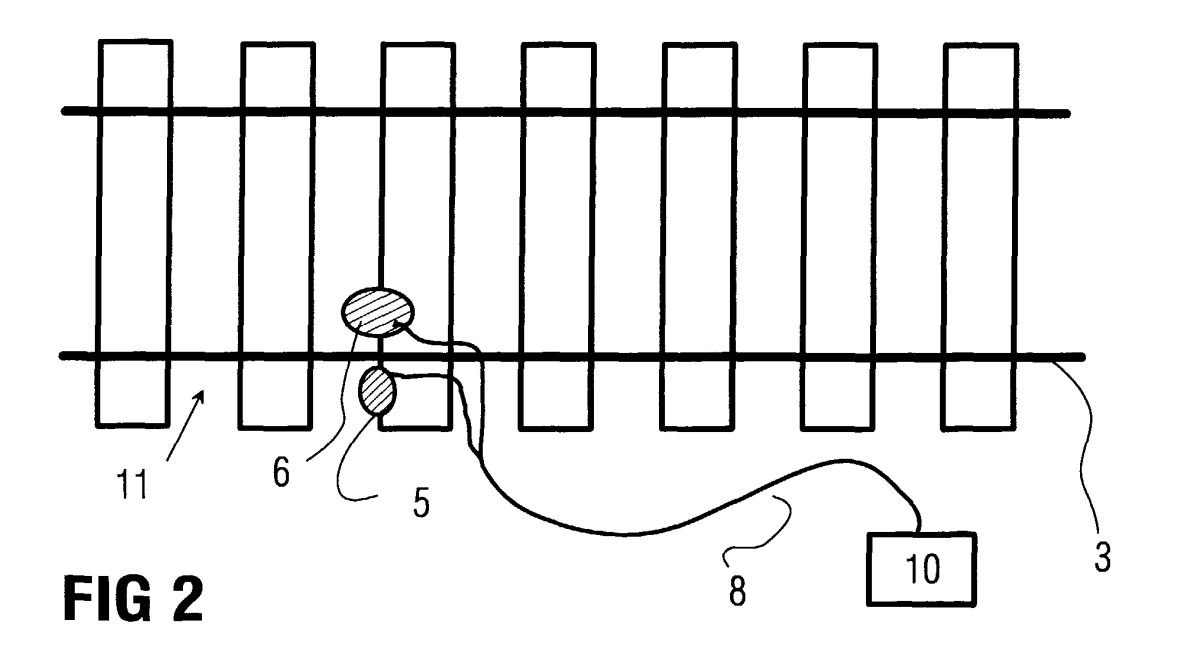


FIG 1



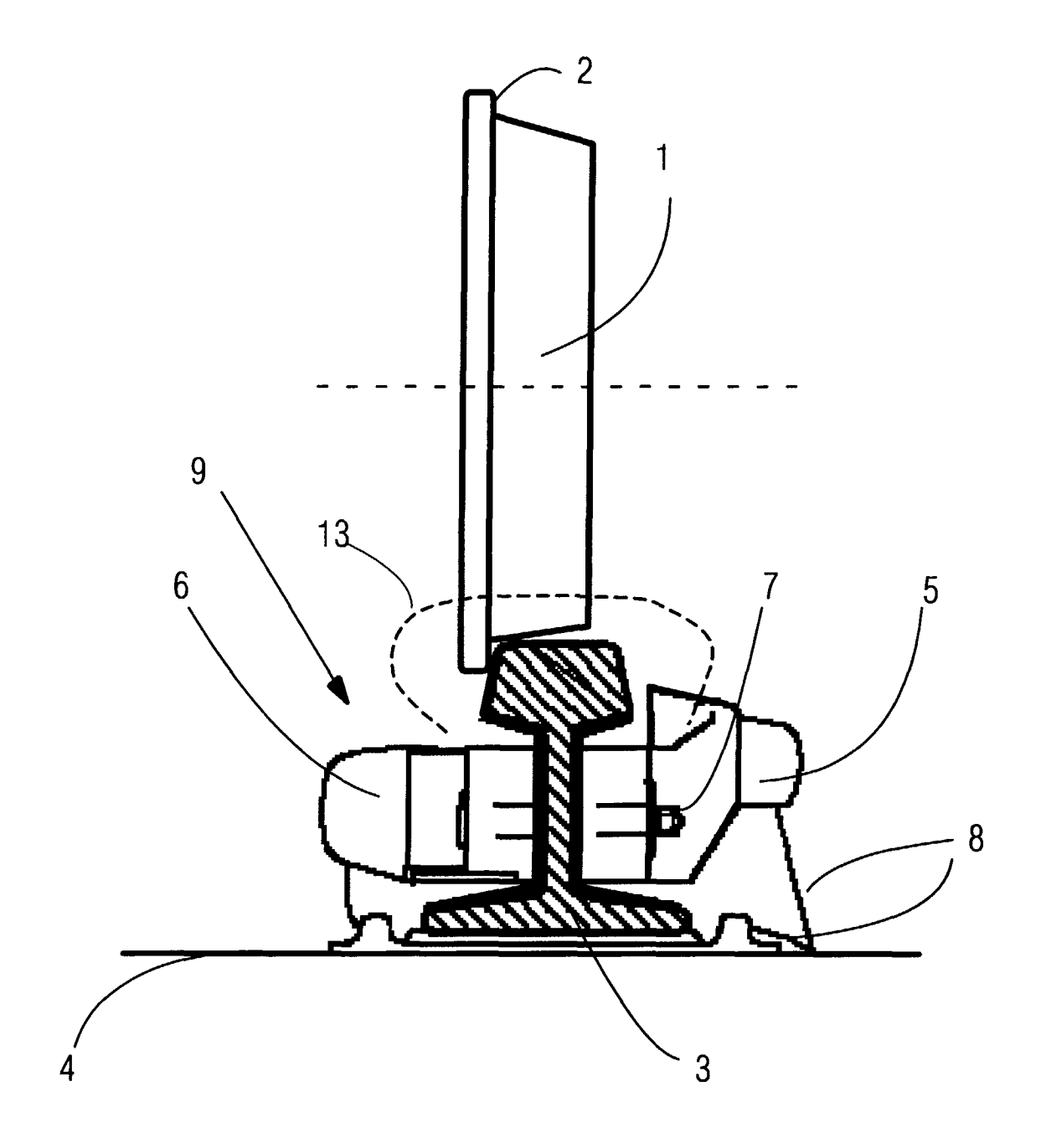


FIG 3

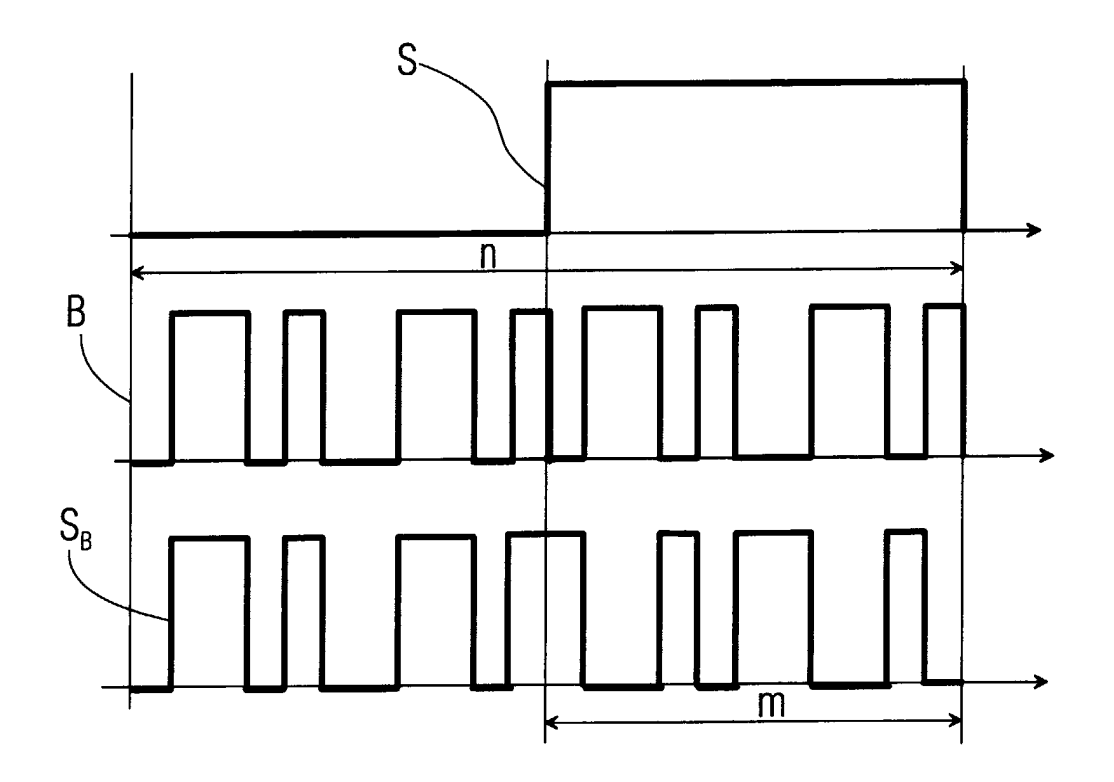


FIG 4

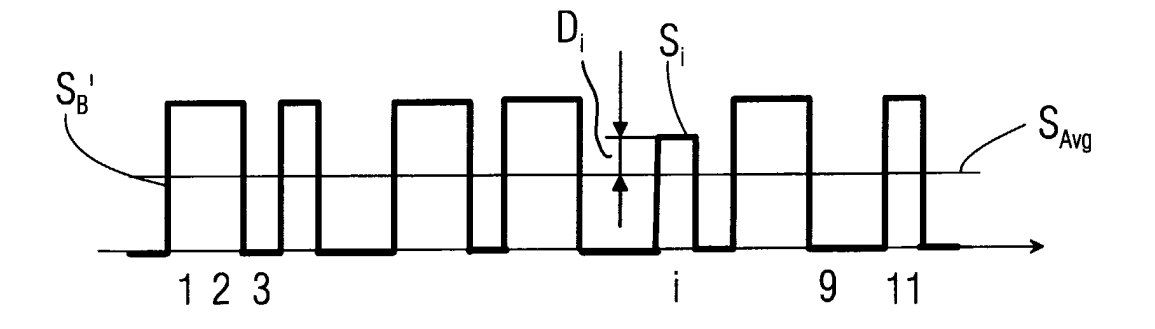


FIG 5

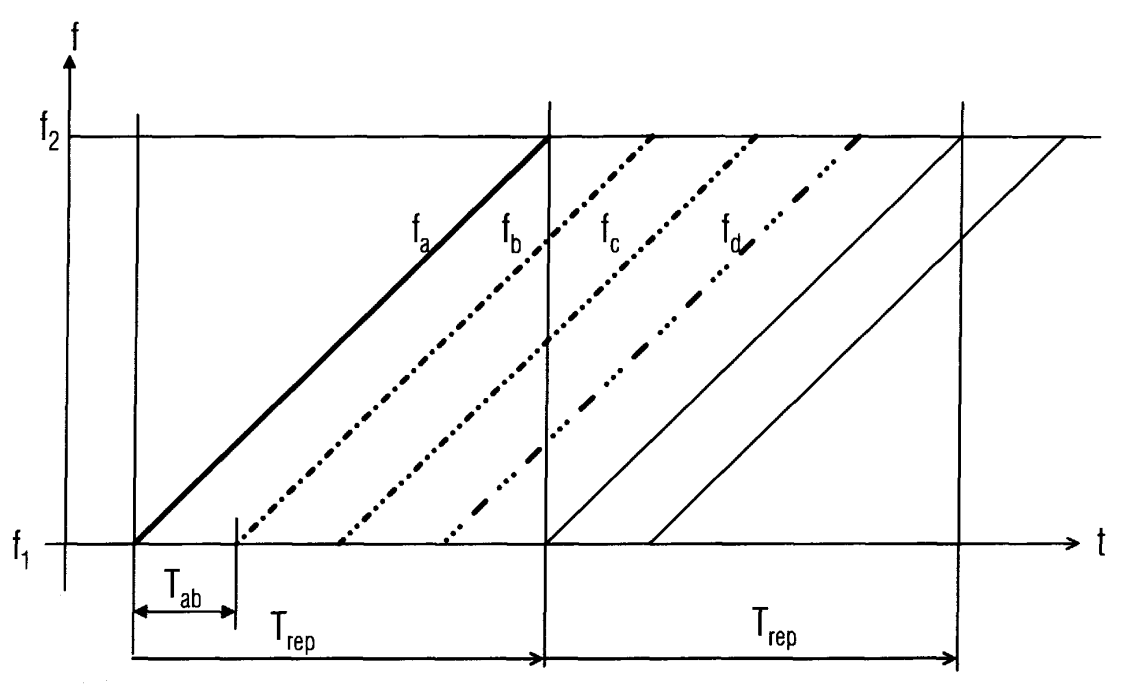


FIG 6a

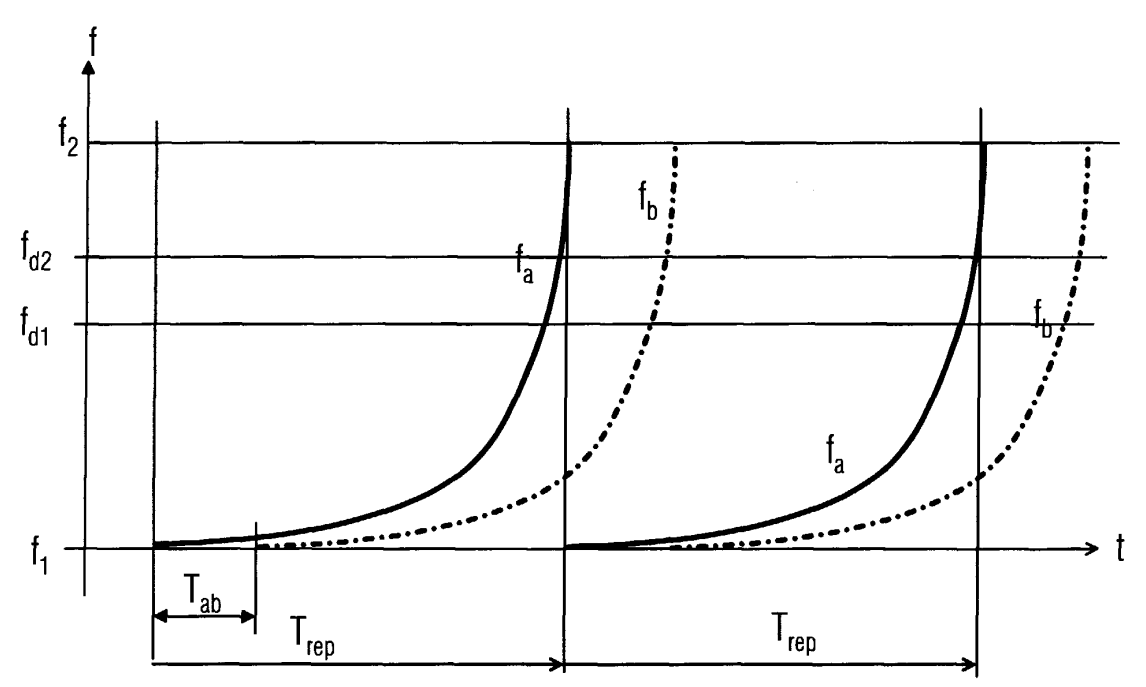


FIG 6b

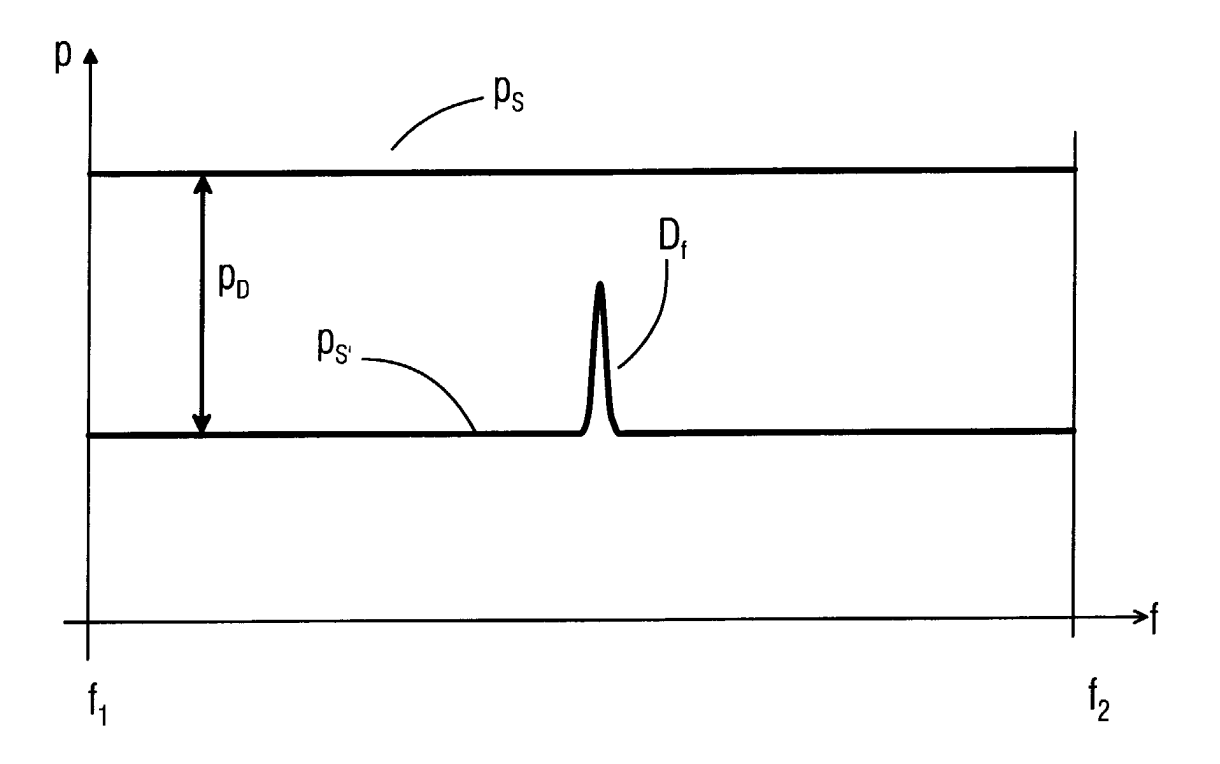


FIG 6c

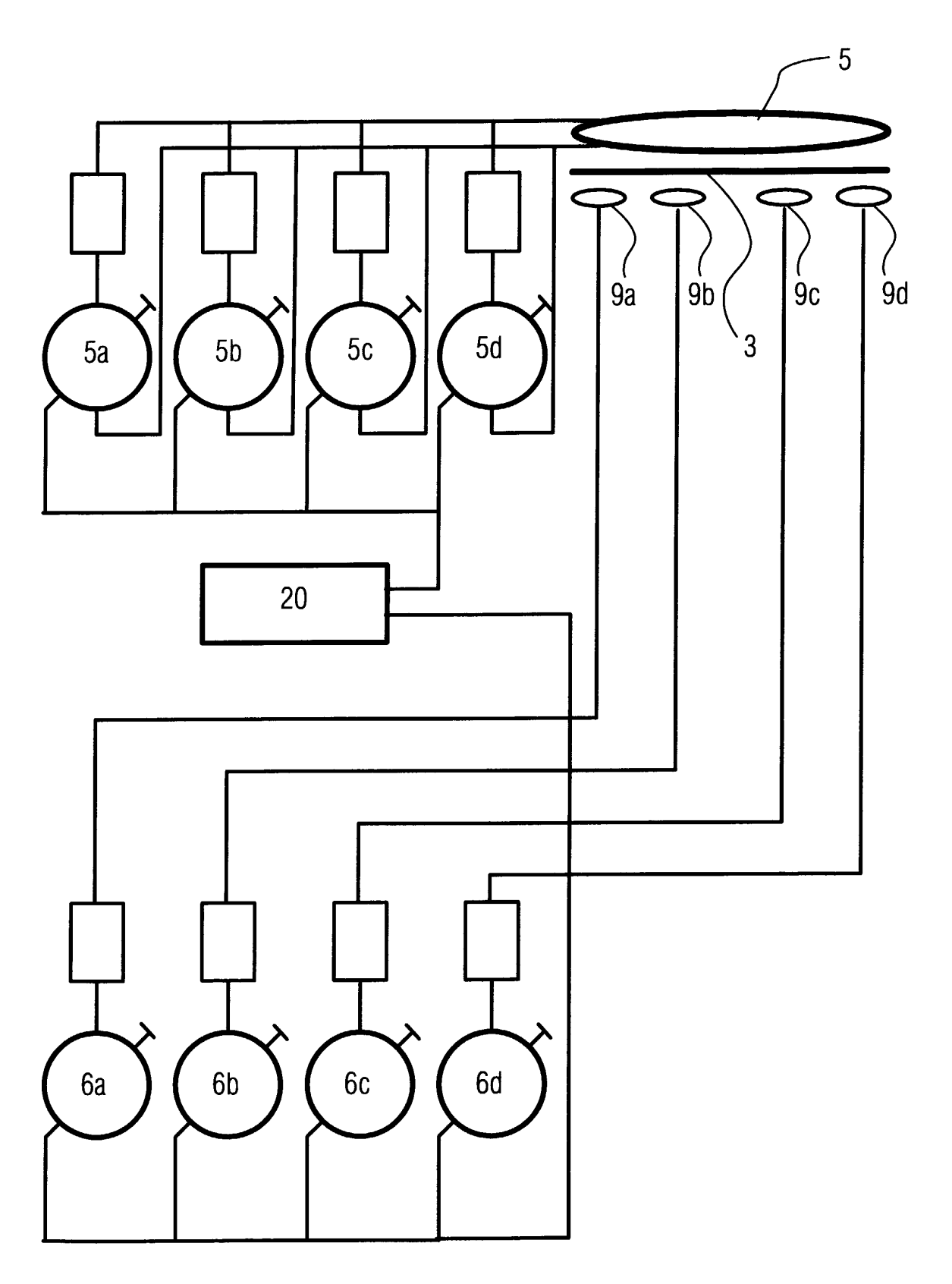
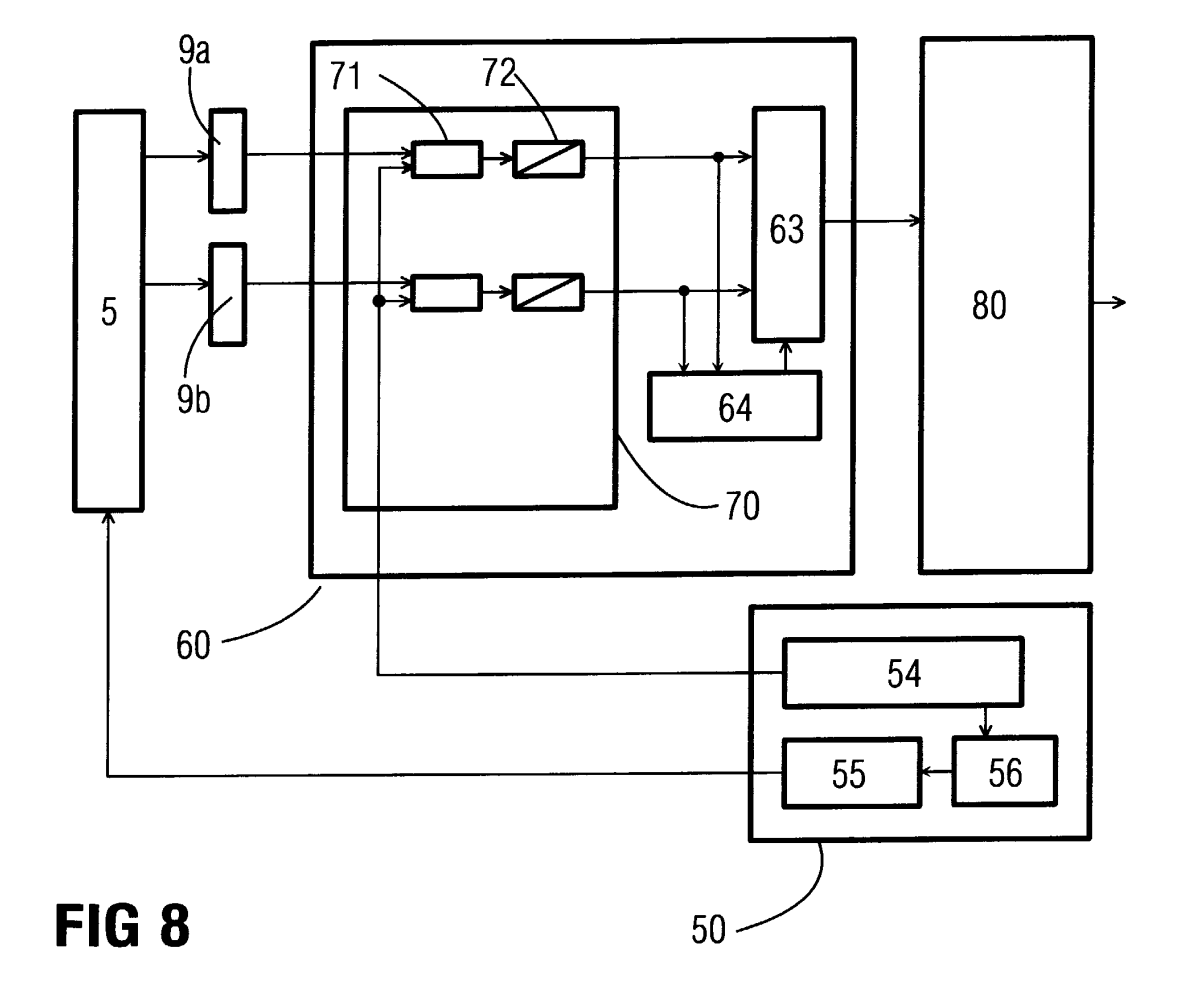


FIG 7





EUROPÄISCHER RECHERCHENBERICHT

Nummer der Anmeldung EP 03 00 9575

	EINSCHLÄGIGE DO	KUMENTE		
Kategorie	Kennzeichnung des Dokuments der maßgeblichen Teil		Betrifft Anspruch	KLASSIFIKATION DER ANMELDUNG (Int.CI.7)
А	GB 2 149 275 A (STANDA LTD) 5. Juni 1985 (198 * Seite 1, Spalte 2, Z Spalte 1, Zeile 66 *	5-06-05)	1,2	B61L1/16 B61L1/18
A	DE 197 09 840 A (SIEME 3. September 1998 (199 * Spalte 3, Zeile 31 -	8-09-03)	1-15	
Α	DE 33 07 689 A (STANDA AG) 6. September 1984 * Seite 6, Zeile 19 -	(1984-09-06)	1-15	
A	PATENT ABSTRACTS OF JA vol. 2000, no. 20, 10. Juli 2001 (2001-07 & JP 2001 063573 A (MI CORP), 13. März 2001 (* Zusammenfassung *	-10) TSUBISHI ELECTRIC	1-15	DEGUE DOLUMENT
A	PATENT ABSTRACTS OF JA vol. 1996, no. 11, 29. November 1996 (199 & JP 08 183453 A (NIPP LTD:THE), 16. Juli 199 * Zusammenfassung *	6-11-29) ON SIGNAL CO	1-15	B61L
Der vo	rliegende Recherchenbericht wurde fü	r alle Patentansprüche erstellt		
	Recherchenort	Abschlußdatum der Recherche		Prüfer
	MÜNCHEN	25. September 200	3 Jan	hsen, A
X : von Y : von ande A : tech O : nich	TEGORIE DER GENANNTEN DOKUMENT besonderer Bedeutung allein betrachtet besonderer Bedeutung in Verbindung mit eir ren Veröffentlichung derselben Kategorie nologischer Hintergrund tschriftliche Offenbarung ohenliteratur	E T : der Erfindung zug E : älteres Patentdok nach dem Anmeld D : in der Anmeldung L : aus anderen Grün	runde liegende T ument, das jedoc edatum veröffent angeführtes Dok den angeführtes	heorien oder Grundsätze h erst am oder lioht worden ist rument Dokument

EPO FORM 1503 03.82 (P04C03)

ANHANG ZUM EUROPÄISCHEN RECHERCHENBERICHT ÜBER DIE EUROPÄISCHE PATENTANMELDUNG NR.

EP 03 00 9575

In diesem Anhang sind die Mitglieder der Patentfamilien der im obengenannten europäischen Recherchenbericht angeführten Patentdokumente angegeben.
Die Angaben über die Familienmitglieder entsprechen dem Stand der Datei des Europäischen Patentamts am Diese Angaben dienen nur zur Unterrichtung und erfolgen ohne Gewähr.

25-09-2003

	lecherchenberich rtes Patentdokur		Datum der Veröffentlichung		Mitglied(er) der Patentfamilie	Datum der Veröffentlichun
GB 21	49275	Α	05-06-1985	KEINE		
DE 19	709840	Α	03-09-1998	DE	19709840 A1	03-09-1998
DE 33	07689	A	06-09-1984	DE AT AT ES IL ZA	3307689 A1 392240 B 70184 A 8502389 A1 71073 A 8401201 A	06-09-1984 25-02-1991 15-08-1990 01-04-1985 30-11-1986 26-09-1984
JP 20	01063573	Α	13-03-2001	KEINE		
JP 08	183453 3	Α		KEINE		
			v			

Für nähere Einzelheiten zu diesem Anhang : siehe Amtsblatt des Europäischen Patentamts, Nr.12/82